

H_0 tension without CMB : beyond Λ CDM

F. Okamatsu, T. Sekiguchi, and T. Takahashi, Phys. Rev. D (arXiv:2105.12312)

佐賀大学 岡松郁弥

2021年 11月 19日 第10回観測的宇宙論ワークショップ

ハッブル定数(H_0)問題とは

- 直接測定

例) SH0ES Collaboration:

$$H_0 = 73.2 \pm 1.3 \text{ km/s/Mpc}$$

A.G.Riess et al., *Astrophys. J. Lett* (arXiv:2012.08534)

- 間接測定

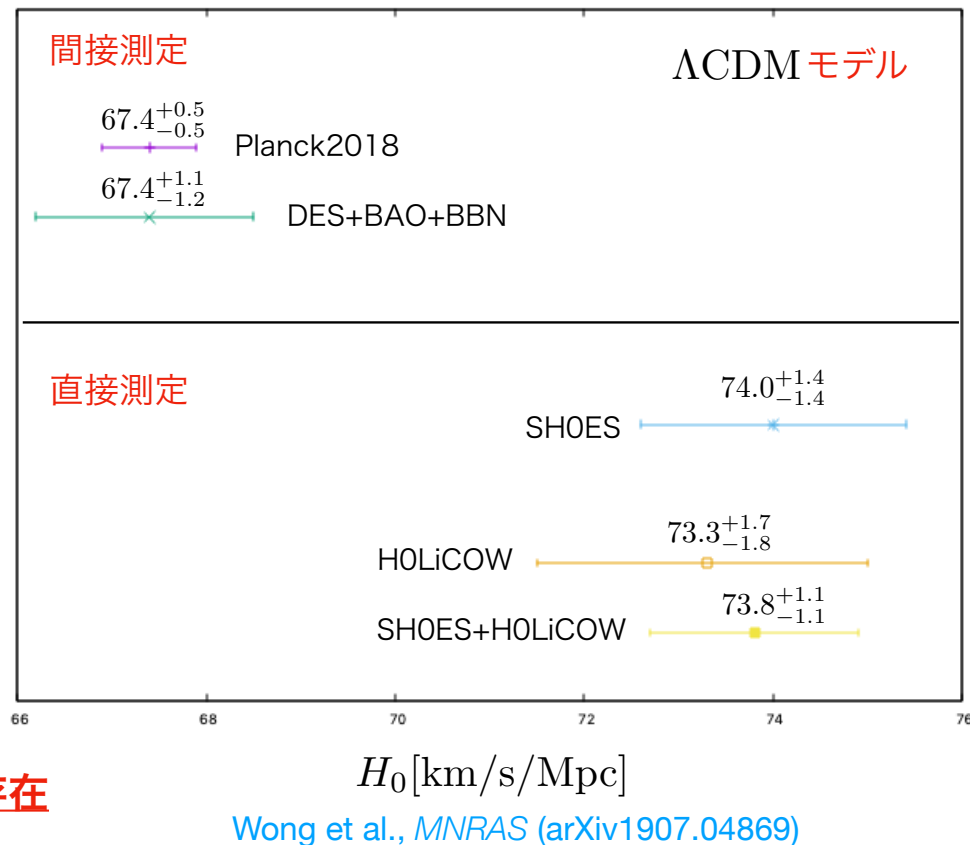
例) 宇宙背景放射(CMB)の観測であるPlanck衛星のデータ :

$$H_0 \simeq 67.36 \pm 0.54 \text{ km/s/Mpc}$$

N. Aghanim et al., *A&A* (arXiv:1807.06209)

直接測定と間接測定の間に統計的に有意な相違(tension)が存在

Λ CDMモデルにおけるtensionは 「**4σ程度**」 となっている



ハッブル定数(H_0)問題とは

- 直接測定

例) SH0ES Collaboration :

$$H_0 = 73.2 \pm 1.3 \text{ km/s/Mpc}$$

A.G.Riess et al., *Astrophys. J. Lett* (arXiv:2012.08534)

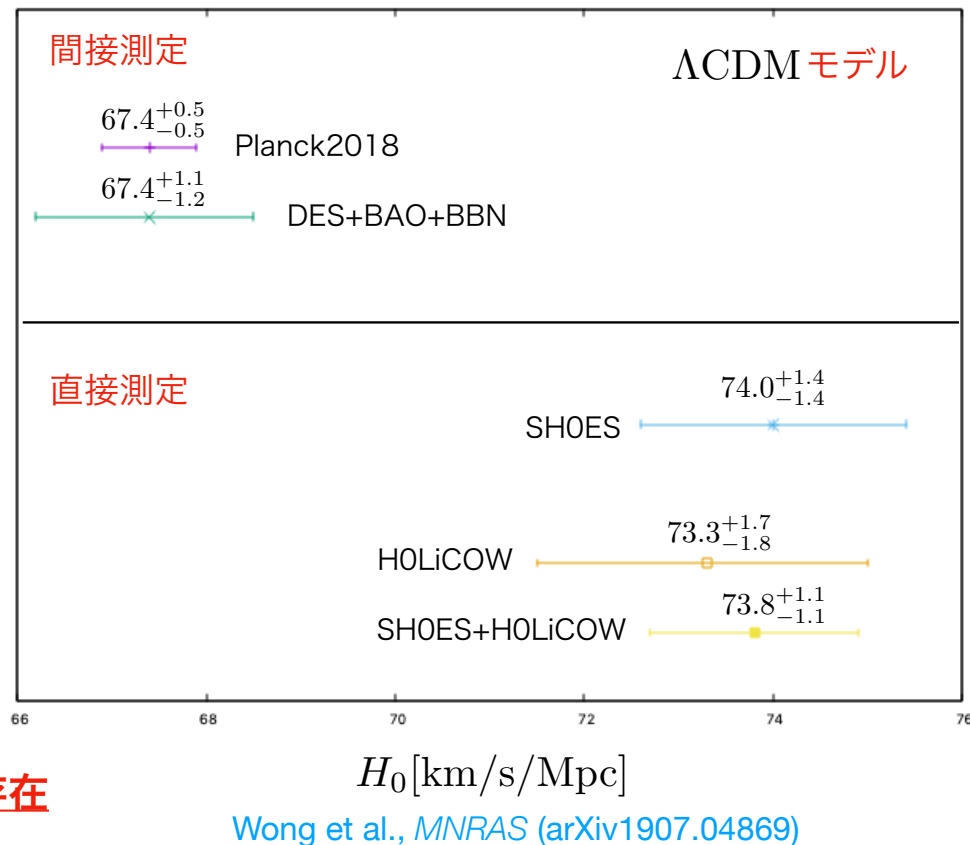
- 間接測定

例) 宇宙背景放射(CMB)の観測であるPlanck衛星のデータ :

$$H_0 \simeq 67.36 \pm 0.54 \text{ km/s/Mpc}$$

Planck collaboration A&A (arXiv:1807.06209)

直接測定と間接測定の間に統計的に有意な相違(tension)が存在



- tensionの要因

- 過小評価された系統誤差 ?



直接測定・間接測定のそれぞれで複数の独立な観測が一致しているなど簡単には説明できない

- LCDMモデルの拡張が必要?

ハッブル定数(H_0)問題とは

- 直接測定

例) SH0ES Collaboration :

$$H_0 = 73.2 \pm 1.3 \text{ km/s/Mpc}$$

A.G.Riess et al., *Astrophys. J. Lett* (arXiv:2012.08534)

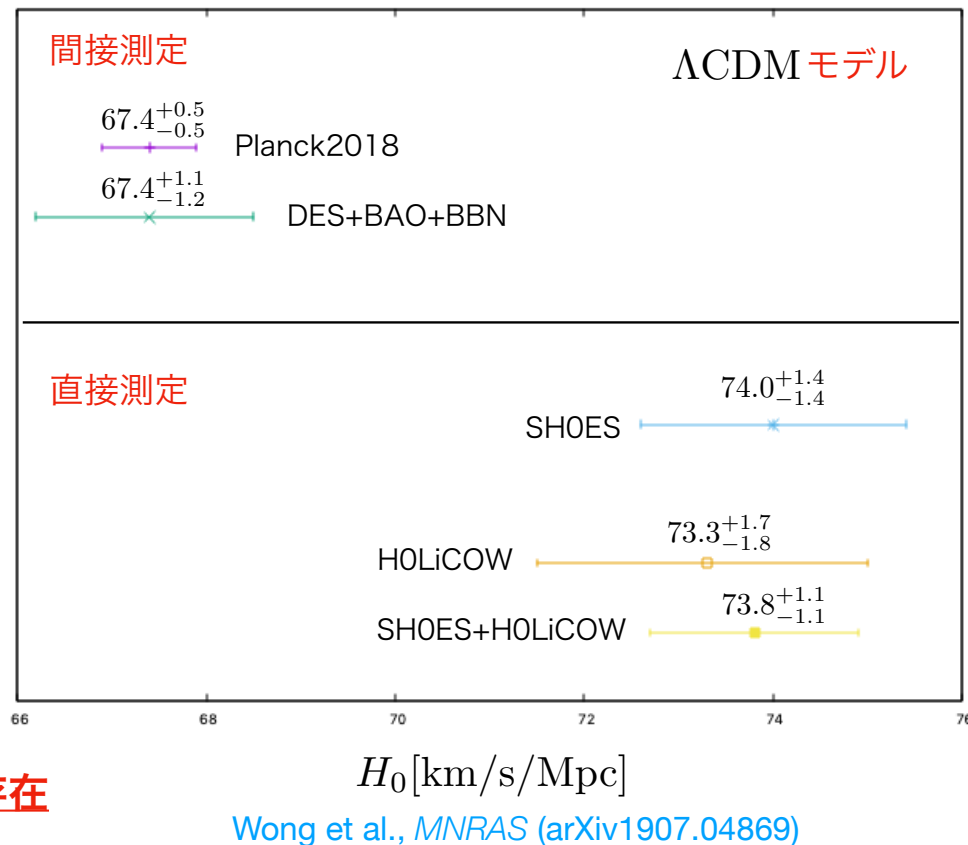
- 間接測定

例) 宇宙背景放射(CMB)の観測であるPlanck衛星のデータ :

$$H_0 \simeq 67.36 \pm 0.54 \text{ km/s/Mpc}$$

Planck collaboration A&A (arXiv:1807.06209)

直接測定と間接測定の間に統計的に有意な相違(tension)が存在



- tensionの要因

・過小評価された系統誤差?



直接測定・間接測定のそれぞれで複数の独立な観測が一致しているなど簡単には説明できない

・LCDMモデルの拡張が必要?



H_0 問題を解決するために様々なモデルが提案されている

・モチベーション

- ・ H_0 問題は、間接測定として精度が良いCMBと直接測定がよく比較される
→ CMB以外の間接測定でも、 H_0 問題が存在するのか確認することは重要
- ・ [Schöneberg et al., JCAP \(arXiv:1907.11594\)](#) や [Alam et al., Phy. Rev. D \(arXiv:2007.08991\)](#) 等により
CMBなしでも、 Λ CDMなどの限られたモデルで H_0 問題が存在することが示唆されている

バリオン音響振動 (BAO)+ビックバン元素合成 (BBN) + Ia型超新星爆発 (SNela)のデータを用いて、
 Λ CDMを拡張したモデルにおいても H_0 問題が存在するか調べた

モデル

解析を行ったモデルは8個

model	model parameters
Λ CDM	$\omega_b, \omega_{\text{dm}}, \omega_\Lambda$
w CDM	$\omega_b, \omega_{\text{dm}}, \omega_{\text{DE}}, w$
N_{eff} Λ CDM	$\omega_b, \omega_{\text{dm}}, \omega_\Lambda, N_{\text{eff}}$
Ω_K Λ CDM	$\omega_b, \omega_{\text{dm}}, \omega_\Lambda, \omega_K$
w_0w_a (CPL)CDM	$\omega_b, \omega_{\text{dm}}, \omega_{\text{DE}}, w_0, w_a$
$N_{\text{eff}}\Omega_K$ Λ CDM	$\omega_b, \omega_{\text{dm}}, \omega_\Lambda, N_{\text{eff}}, \omega_K$
$N_{\text{eff}}w_0w_a$ (CPL)CDM	$\omega_b, \omega_{\text{dm}}, \omega_{\text{DE}}, N_{\text{eff}}, w_0, w_a$
$w_0w_1w_2$ CDM (binned DE EoS)	$\omega_b, \omega_{\text{dm}}, \omega_{\text{DE}}, w_0, w_1, w_2$

w_0w_a (CPL)CDM

(ダークエネルギーの状態方程式が時間変化するモデル)

CPL parameterization

$$w(a) = w_0 + w_a(1 - a)$$

モデル

解析を行ったモデルは8個

model	model parameters
Λ CDM	$\omega_b, \omega_{dm}, \omega_\Lambda$
w CDM	$\omega_b, \omega_{dm}, \omega_{DE}, w$
N_{eff} Λ CDM	$\omega_b, \omega_{dm}, \omega_\Lambda, N_{\text{eff}}$
Ω_K Λ CDM	$\omega_b, \omega_{dm}, \omega_\Lambda, \omega_K$
$w_0 w_a$ (CPL)CDM	$\omega_b, \omega_{dm}, \omega_{DE}, w_0, w_a$
N_{eff} Ω_K Λ CDM	$\omega_b, \omega_{dm}, \omega_\Lambda, N_{\text{eff}}, \omega_K$
$N_{\text{eff}} w_0 w_a$ (CPL)CDM	$\omega_b, \omega_{dm}, \omega_{DE}, N_{\text{eff}}, w_0, w_a$
$w_0 w_1 w_2$ CDM (binned DE EoS)	$\omega_b, \omega_{dm}, \omega_{DE}, w_0, w_1, w_2$

$w_0 w_1 w_2$ CDM (binned DE EoS)

以下のようにスケール因子の範囲ごとに
異なる状態方程式(EoS)が仮定されるDEモデル

$z = [0, 0.5], [0.5, 2]$ and $[2, \infty]$ の場合、

w_0 は $0 < z < 0.5$ のEoS、

w_1 は $0.5 < z < 2$ のEoS、

w_2 は $2 < z < \infty$ のEoS

に対応する。

解析

- 解析手法
 - マルコフ連鎖モンテカルロ法 (MCMC)
- データ
 - BAO: [[Alam et al., Phy. Rev. D \(arXiv:2007.08991\)](#)]
 - Main Galaxy Sample (MGS) ($0.07 < z < 0.2$)
 - BOSS Galaxy ($0.2 < z < 0.5$)
 - BOSS Galaxy ($0.4 < z < 0.6$)
 - eBOSS luminous red galaxy (LRG) ($0.6 < z < 1.0$)
 - eBOSS emission line galaxy (ELG) ($0.6 < z < 1.1$)
 - eBOSS Quasar ($0.8 < z < 2.2$)
 - Ly α -Ly α ($2.1 < z$)
 - Ly α -Quasar ($1.77 < z$)
 - BBN :
 - 重水素の存在量 [[Cooke et al., ApJ \(arXiv:1710.11129\)](#)]
 - ヘリウム4の存在量 [[Aver et al., JCAP \(arXiv:1503.08146\)](#)]
 - SNela :
 - Pantheon sample [[Scolnic et al., ApJ \(arXiv:1710.00845\)](#)]

解析

- BAOの観測量

$$\frac{D_H(z)}{r_d} = \frac{f(z)}{r_d H_0}, \quad \frac{D_M(z)}{r_d} = \frac{1}{r_d H_0} \int_0^z dz' f(z'), \quad \frac{D_V(z)}{r_d} = \frac{\left[z \left(\int_0^z dz' f(z') \right)^2 f(z) \right]^{1/3}}{r_d H_0}$$

※ $D_H(z)$: ハッブル距離 , $D_M(z)$: 角径距離 , $D_V(z)$: a spherically-averaged distance, r_d : the sound horizon at drag epoch

→ Λ CDMモデルの場合、 $f(z)|_{\Lambda\text{CDM}} = 1/\sqrt{\Omega_m(1+z)^3 + 1 - \Omega_m}$ と書けるので

特定の赤方偏移のBAOの観測量は、 $r_d H_0$ と Ω_m の組み合わせにのみ依存

	Data	z_{eff}	observables
low redshift BAO	MGS	0.15	$D_V(z)/r_d = 4.47 \pm 0.17$
	BOSS galaxy I	0.38	$D_M(z)/r_d = 10.23 \pm 0.17, D_H(z)/r_d = 25.00 \pm 0.76$
	BOSS galaxy II	0.51	$D_M(z)/r_d = 13.36 \pm 0.21, D_H(z)/r_d = 22.33 \pm 0.58$
	eBOSS LRG	0.7	$D_M(z)/r_d = 17.86 \pm 0.33, D_H(z)/r_d = 19.33 \pm 0.58$
	eBOSS ELG	0.85	$D_V(z)/r_d = 18.33^{+0.57}_{-0.62}$
high redshift BAO	eBOSS Quasar	1.48	$D_M(z)/r_d = 30.69 \pm 0.80, D_H(z)/r_d = 13.26 \pm 0.55$
	Ly α -Ly α	2.33	$D_M(z)/r_d = 37.6 \pm 1.9, D_H(z)/r_d = 8.93 \pm 0.28$
	Ly α -Quasar	2.33	$D_M(z)/r_d = 37.3 \pm 1.7, D_H(z)/r_d = 9.08 \pm 0.34$

BAO ($z < 1$) + BBN + SNela

BAO ($z > 1$) + BBN + SNela

BAO (z all) + BBN + SNela

解析 (Λ CDMモデル)

- BAO ($z < 1$) + BBN +SNela:

$$H_0 \simeq 69.20^{+1.3}_{-1.3} \text{ km/s/Mpc} \quad 68\% \text{ C.L}$$

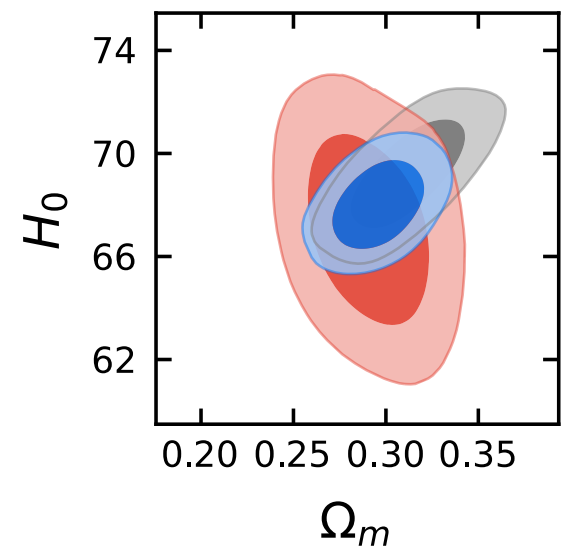
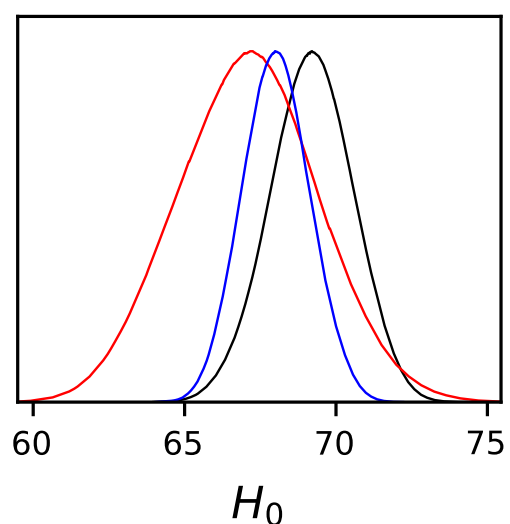
- BAO ($z < 1$) + BBN + SNela
- BAO ($z > 1$) + BBN + SNela
- BAO + BBN + SNela

- BAO ($z > 1$) + BBN+SNela :

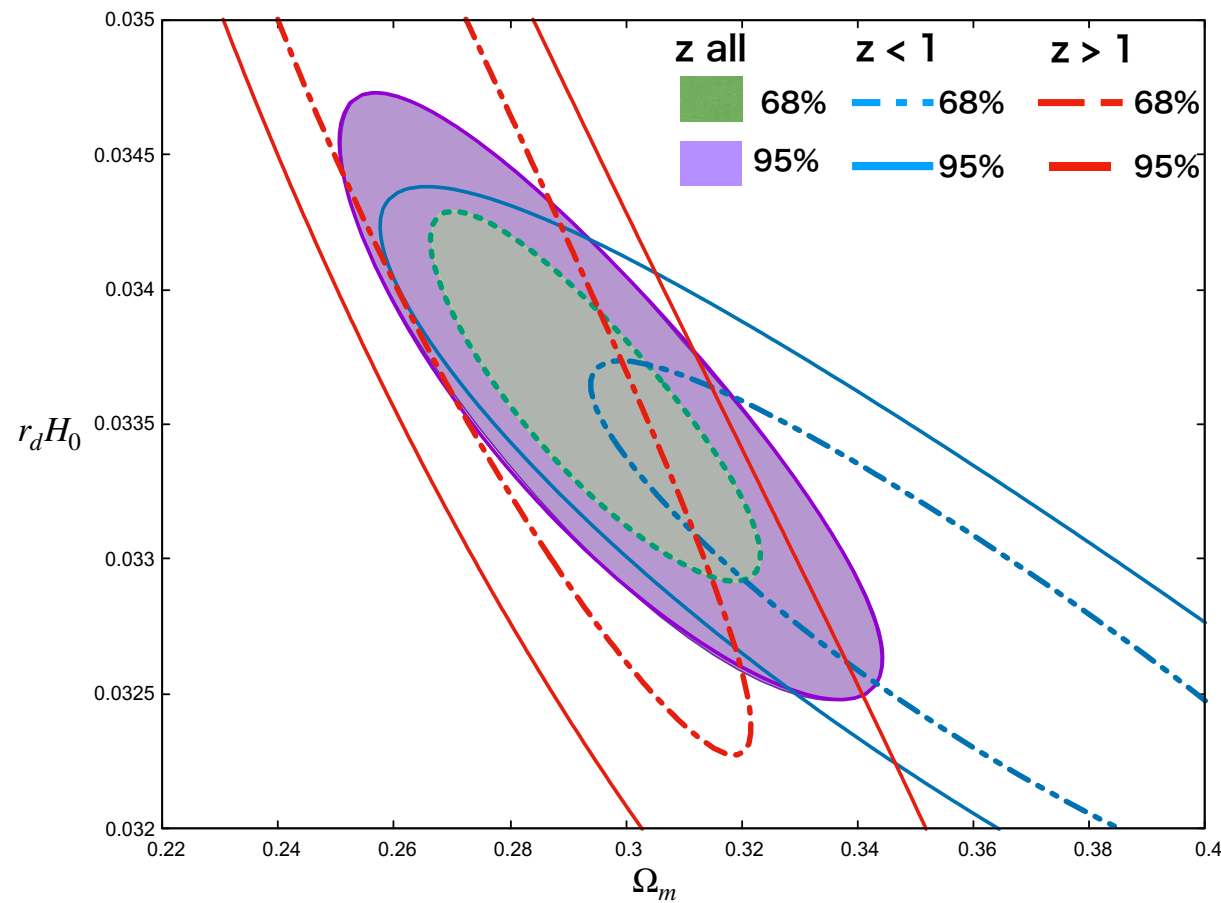
$$H_0 \simeq 67.09^{+2.1}_{-2.4} \text{ km/s/Mpc} \quad 68\% \text{ C.L}$$

- BAO+BBN+SNela:

$$H_0 \simeq 68.02^{+1.0}_{-1.1} \text{ km/s/Mpc} \quad 68\% \text{ C.L}$$



解析 (Λ CDM モデル)



$$f(z)|_{\Lambda\text{CDM}} = \frac{1}{\sqrt{\Omega_m(1+z)^3 + 1 - \Omega_m}}$$

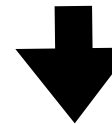
$$z > 1 : \quad \frac{D_H}{r_d} \propto \frac{1}{r_d H_0 \sqrt{\Omega_m}}$$

→ $r_d H_0$ と Ω_m がこの方向に沿って縮退している

$z < 1$: $f(z)|_{\Lambda\text{CDM}}$ を $z=0$ での展開を行うと

$$f(z)|_{\Lambda\text{CDM}} = 1 - \frac{3}{2}\Omega_m z + \mathcal{O}(z^2)$$

→ $r_d H_0 - \Omega_m$ 平面の縮退の方向は Ω_m 軸に平行に傾斜する



$z < 1$ および $z > 1$ データからの BAO の制限は異なる方向になる

解析 (w CDM モデル)

- BAO ($z < 1$) + BBN+SNela :

$$H_0 \simeq 78.40^{+6.6}_{-5.1} \text{ km/s/Mpc}$$

68% C.L.

- BAO ($z > 1$) + BBN+SNela :

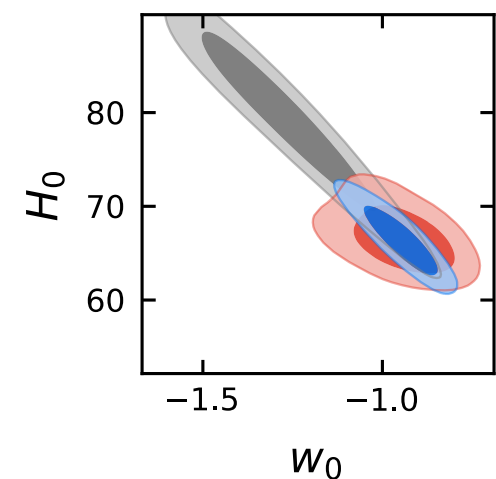
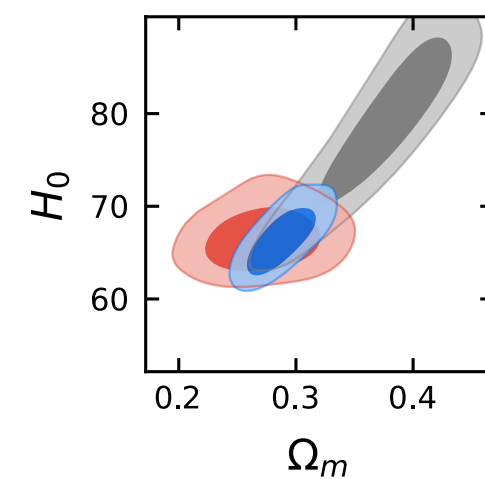
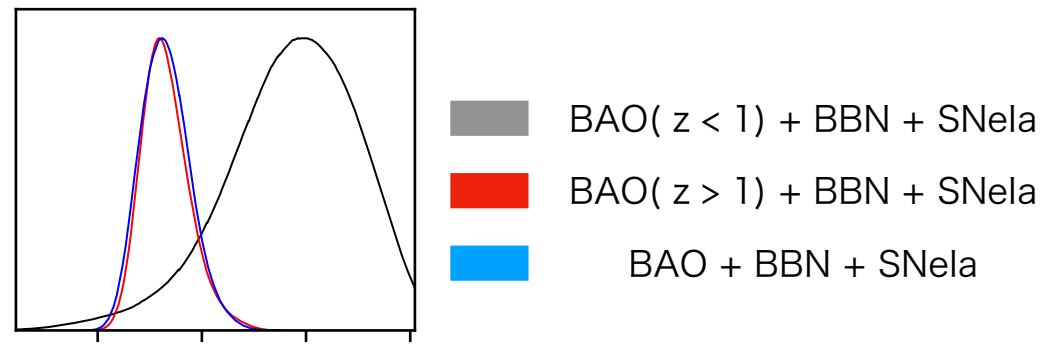
$$H_0 \simeq 65.94^{+2.2}_{-2.2} \text{ km/s/Mpc}$$

68% C.L.

- BAO+BBN+SNela :

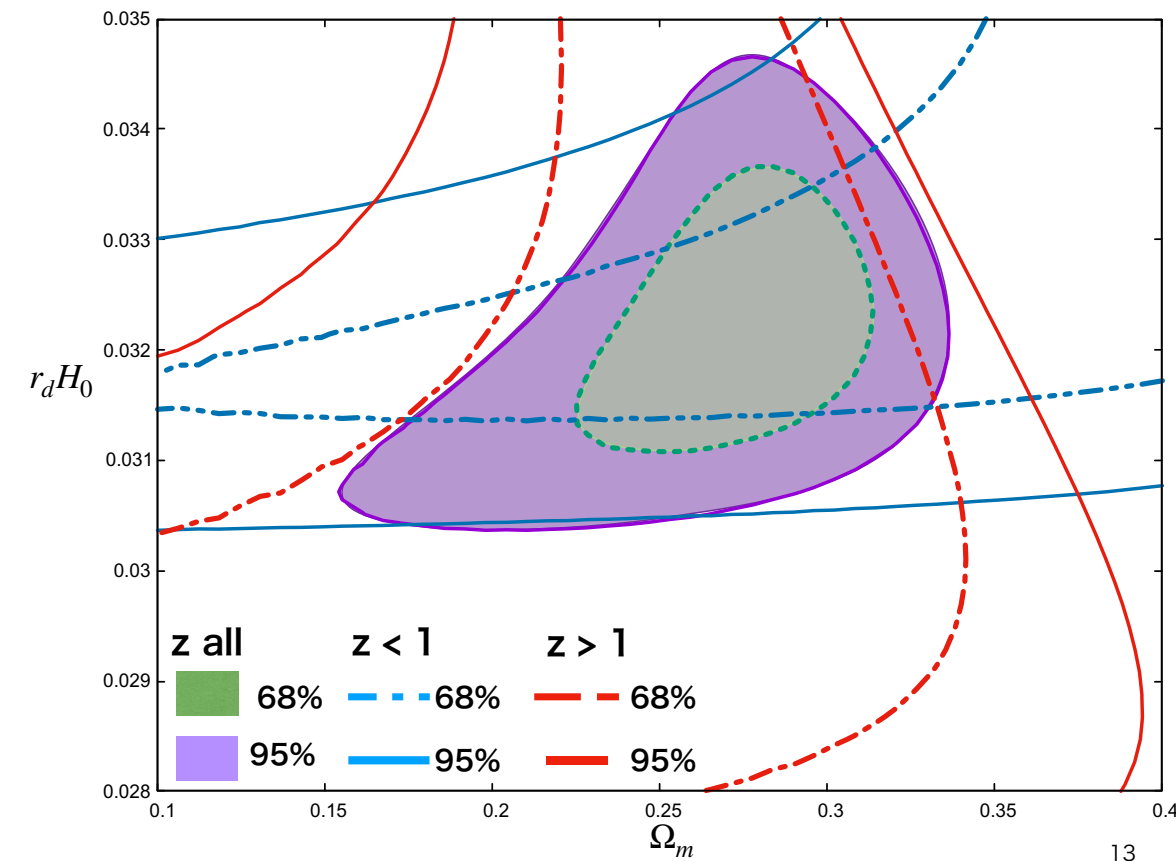
$$H_0 \simeq 66.44^{+2.3}_{-2.4} \text{ km/s/Mpc}$$

68% C.L.



解析 (w CDM モデル)

wCDMモデルの場合 : $f(z)|_{w\text{CDM}} = \frac{1}{\sqrt{\Omega_m(1+z)^3 + (1-\Omega_m)(1+z)^{3(1+w)}}}$



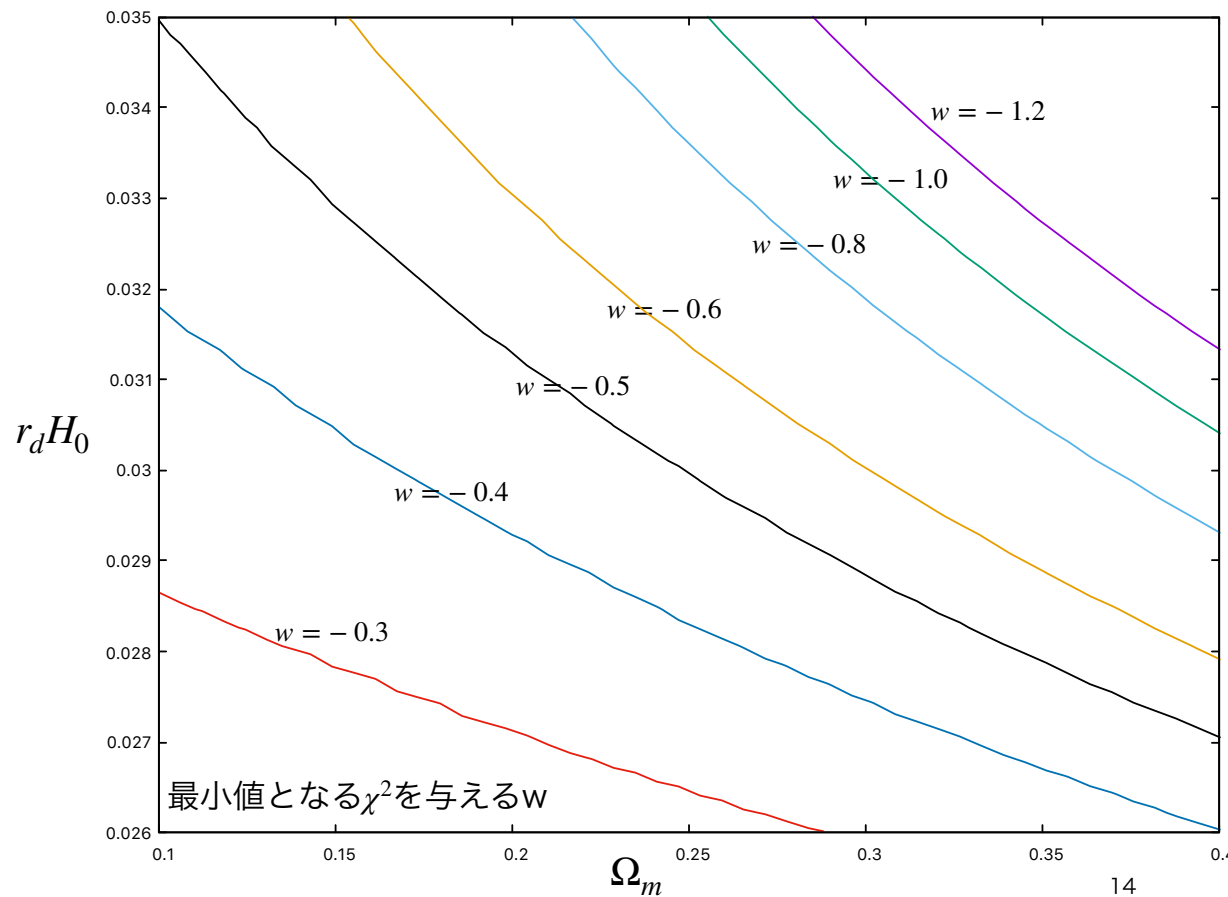
$z > 1$: $\frac{D_H}{r_d} \propto \frac{1}{r_d H_0 \sqrt{\Omega_m}}$

→ $r_d H_0$ と Ω_m がこの方向に沿って縮退している

Ω_m と w の間にも縮退がある

解析 (w CDM モデル)

w CDM モデルの場合 : $f(z)|_{w\text{CDM}} = \frac{1}{\sqrt{\Omega_m(1+z)^3 + (1-\Omega_m)(1+z)^{3(1+w)}}}$



$z > 1$: $\frac{D_H}{r_d} \propto \frac{1}{r_d H_0 \sqrt{\Omega_m}}$

→ $r_d H_0$ と Ω_m がこの方向に沿って縮退している

Ω_m と w の間にも縮退がある

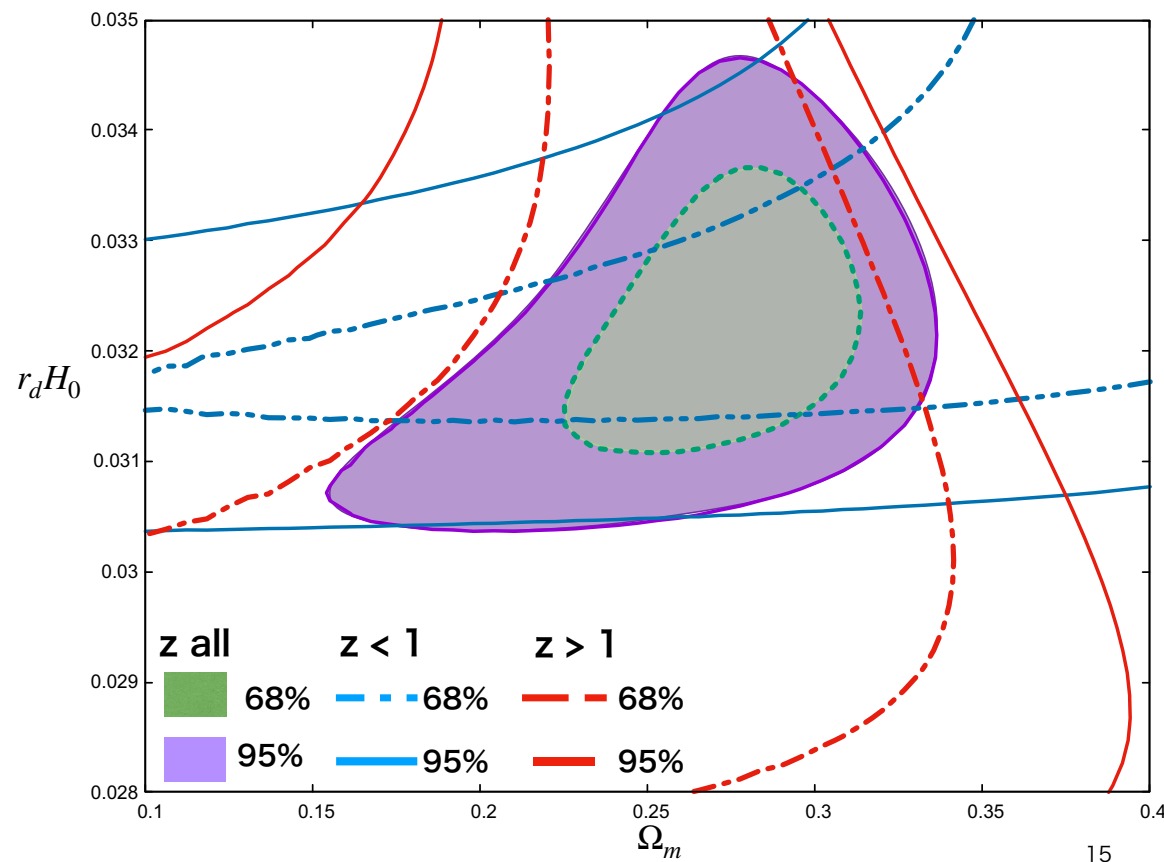
Ω_m が小さくなる

↓
ダークエネルギーの w が $w=0$ (matter) に近づく

↓
 Ω_m と w の縮退が激しくなり、 Ω_m が決まらなくなる

解析 (w CDM モデル)

w CDMモデルの場合 : $f(z)|_{w\text{CDM}} = \frac{1}{\sqrt{\Omega_m(1+z)^3 + (1-\Omega_m)(1+z)^{3(1+w)}}}$



$z > 1$: $\frac{D_H}{r_d} \propto \frac{1}{r_d H_0 \sqrt{\Omega_m}}$

→ $r_d H_0$ と Ω_m がこの方向に沿って縮退している

Ω_m と w の間にも縮退がある

$z < 1$: $f(z)|_{w\text{CDM}}$ を $z=0$ での展開を行うと

$$f(z)|_{w\text{CDM}} = 1 + \frac{3}{2}(-1 - w + w\Omega_m)z + \mathcal{O}(z^2)$$

→ $r_d H_0 - \Omega_m$ 平面の縮退の方向は Ω_m 軸に平行に傾斜する

Ω_m と w が縮退しており、 Ω_m と H_0 も縮退している

→ Ω_m と w が決まらない

解析 (tension)

Gaussian Tension

$$\frac{H_{0,i} - H_{0,\text{SH0ES}}}{(\sigma_i^2 + \sigma_{\text{SH0ES}}^2)^{1/2}}$$

$\begin{cases} H_{0,i} : \text{モデルiにおける推定値のmean value} \\ \sigma_i : \text{モデルiにおける推定値の標準偏差} \end{cases}$

SH0ES collaboration

$$H_{0,\text{SH0ES}} = 73.2 \pm 1.3 \text{ km/s/Mpc}$$

	ΛCDM	$w\text{CDM}$	$N_{\text{eff}}\Lambda\text{CDM}$	$\Omega_K\Lambda\text{CDM}$	$w_0w_a\text{CDM}$	$N_{\text{eff}}\Omega_K\Lambda\text{CDM}$	$N_{\text{eff}}w_0w_a\text{CDM}$	$w_0w_1w_2\text{CDM}$
Significance	3.1σ	2.5σ	2.5σ	1.7σ	2.0σ	1.8σ	2.2σ	2.0σ

解析 (tension)

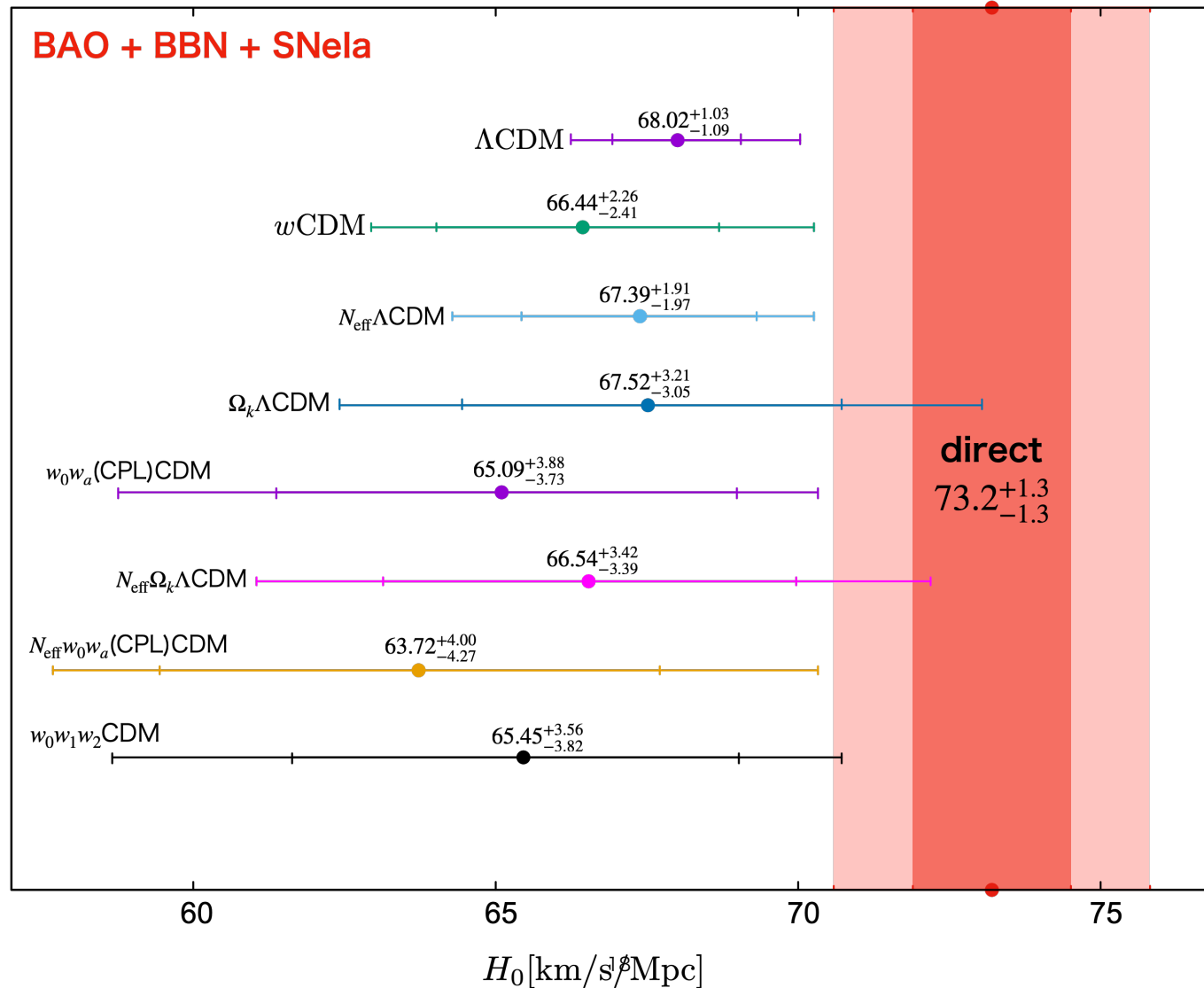
	Λ CDM	wCDM	N_{eff} Λ CDM	Ω_K Λ CDM	$w_0 w_a$ CDM	$N_{\text{eff}} \Omega_K \Lambda$ CDM	$N_{\text{eff}} w_0 w_a$ CDM	$w_0 w_1 w_2$ CDM
Significance	3.1σ	2.5σ	2.5σ	1.7σ	2.0σ	1.8σ	2.2σ	2.0σ

SHOES collaboration

$$H_{0,\text{SHOES}} = 73.2 \pm 1.3 \text{ km/s/Mpc}$$

tensionは弱くなるものの、tensionは存在する

解析(まとめ)



CMBを含めた解析との比較

解析

- ・マルコフ連鎖モンテカルロ法 (MCMC) (CosmoMC)
 - Planck 2018 (including TTTEEE and lensing) [N. Aghanim et al., A&A \(arXiv:1807.06209\)](#)
- ・BAO
 - SDSS-III BOSS DR12 galaxy samples ($z=0.38, 0.51, 0.61$) [S. Alam et al., MNRAS \(arXiv:1607.03155\)](#)
 - SDSS DR7 Main Galaxy Sample ($z=0.15$) [J. Ross et al., MNRAS \(arXiv:1409.3242\)](#)
 - 6dF Galaxy Survey [F. Beutler et al., MNRAS \(arXiv:1106.3366\)](#)
- ・SNela
 - Pantheon sample [D. M. Scolnic et al., ApJ \(arXiv:1710.00845\)](#)

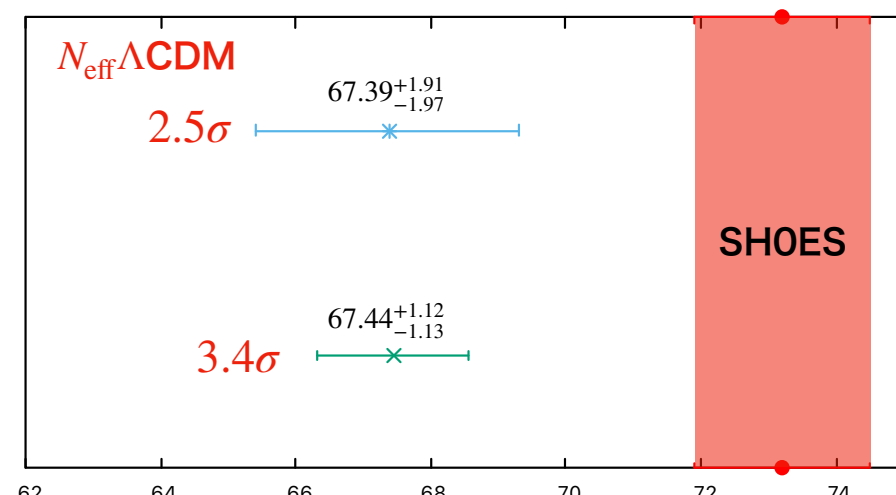
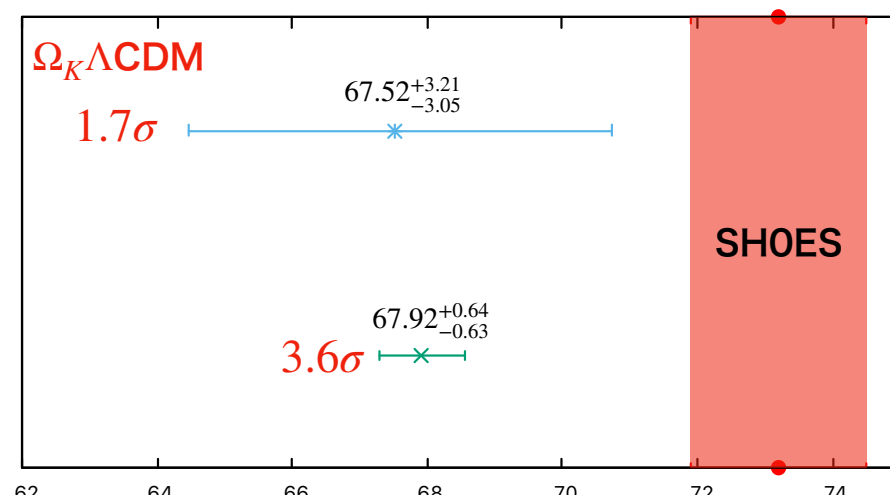
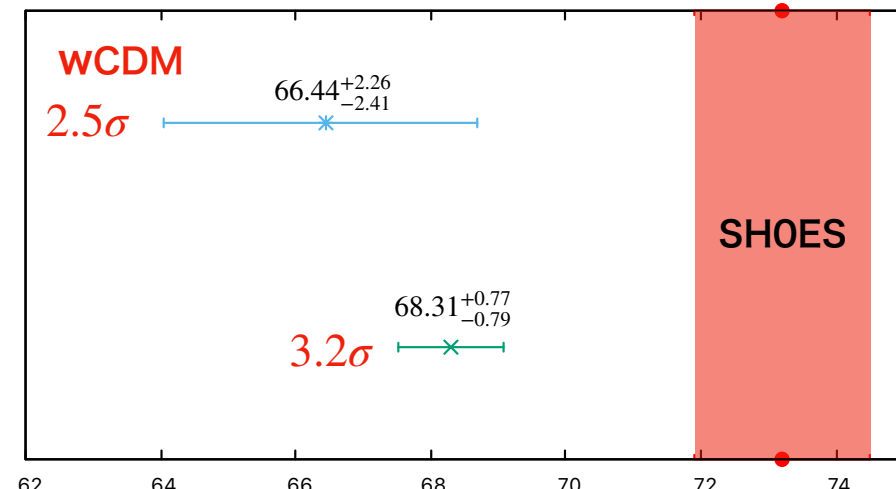
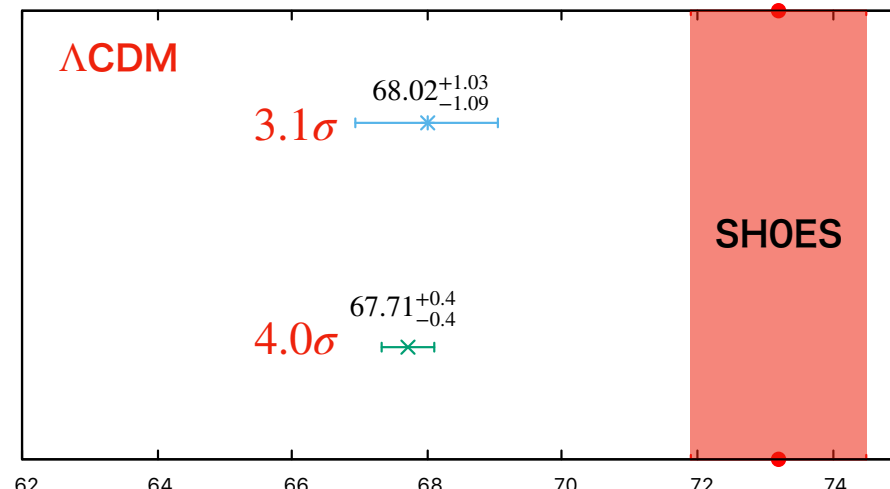
解析 (Planck有りとの比較)



BAO + BBN + SNela



Planck + BAO + SNela



H_0 [km/s/Mpc]

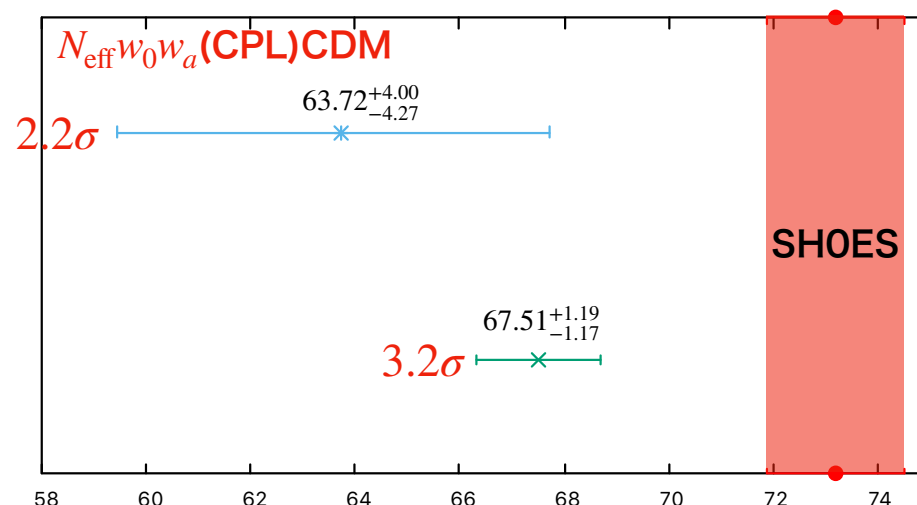
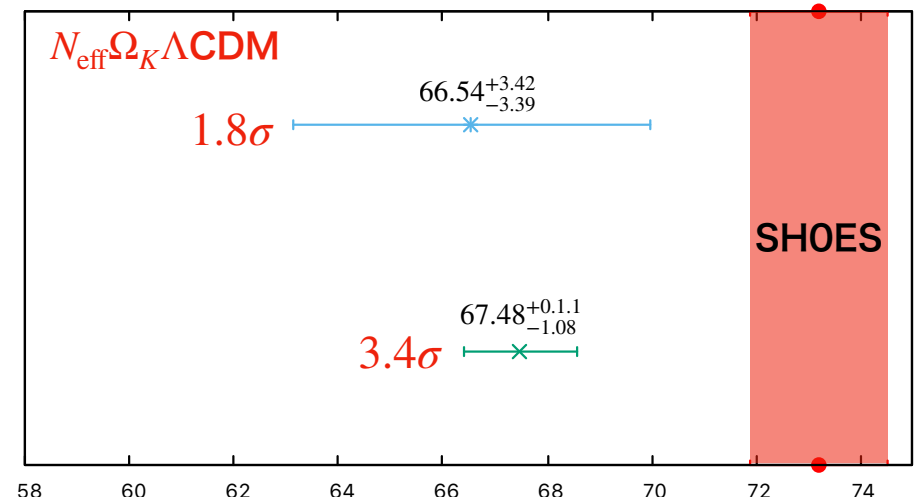
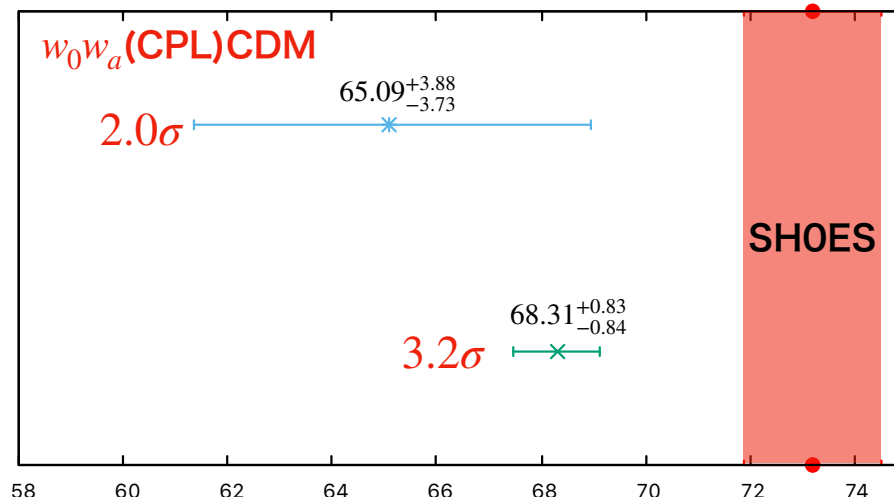
解析 (Planck有りとの比較)



BAO + BBN + SNela



Planck + BAO + SNela



H_0 [km/s/Mpc]
22

解析 (その他のモデルとの比較)

Planck + BAO

Model	ΔN_{param}	H_0	Gaussian Tension
Λ CDM	0	67.77 ± 0.44	4.0σ
ΔN_{ur}	1	68.38 ± 0.69	3.3σ
SIDR	1	68.67 ± 0.84	2.9σ
mixed DR	2	67.83 ± 1.23	3.0σ
DR-DM	2	68.55 ± 0.92	2.9σ
SI ν +DR	3	66.79 ± 1.18	3.7σ
Majoron	3	68.86 ± 0.93	2.7σ
primordial B	1	68.50 ± 0.62	3.3σ
varying m_e	1	68.46 ± 1.26	2.6σ
varying $m_e + \Omega_k$	2	69.29 ± 2.11	1.6σ
EDE	3	68.51 ± 0.55	3.3σ
NEDE	3	68.80 ± 0.68	3.0σ
EMG	3	68.36 ± 0.87	3.1σ
CPL	2	65.61 ± 1.60	3.7σ
PEDE	0	71.75 ± 0.51	1.0σ
GPEDE	1	69.03 ± 1.19	2.4σ
DM \rightarrow DR+WDM	2	67.66 ± 0.43	4.0σ
DM \rightarrow DR	2	67.63 ± 0.47	4.0σ

Schöneberg et al., arXiv:2107.10291

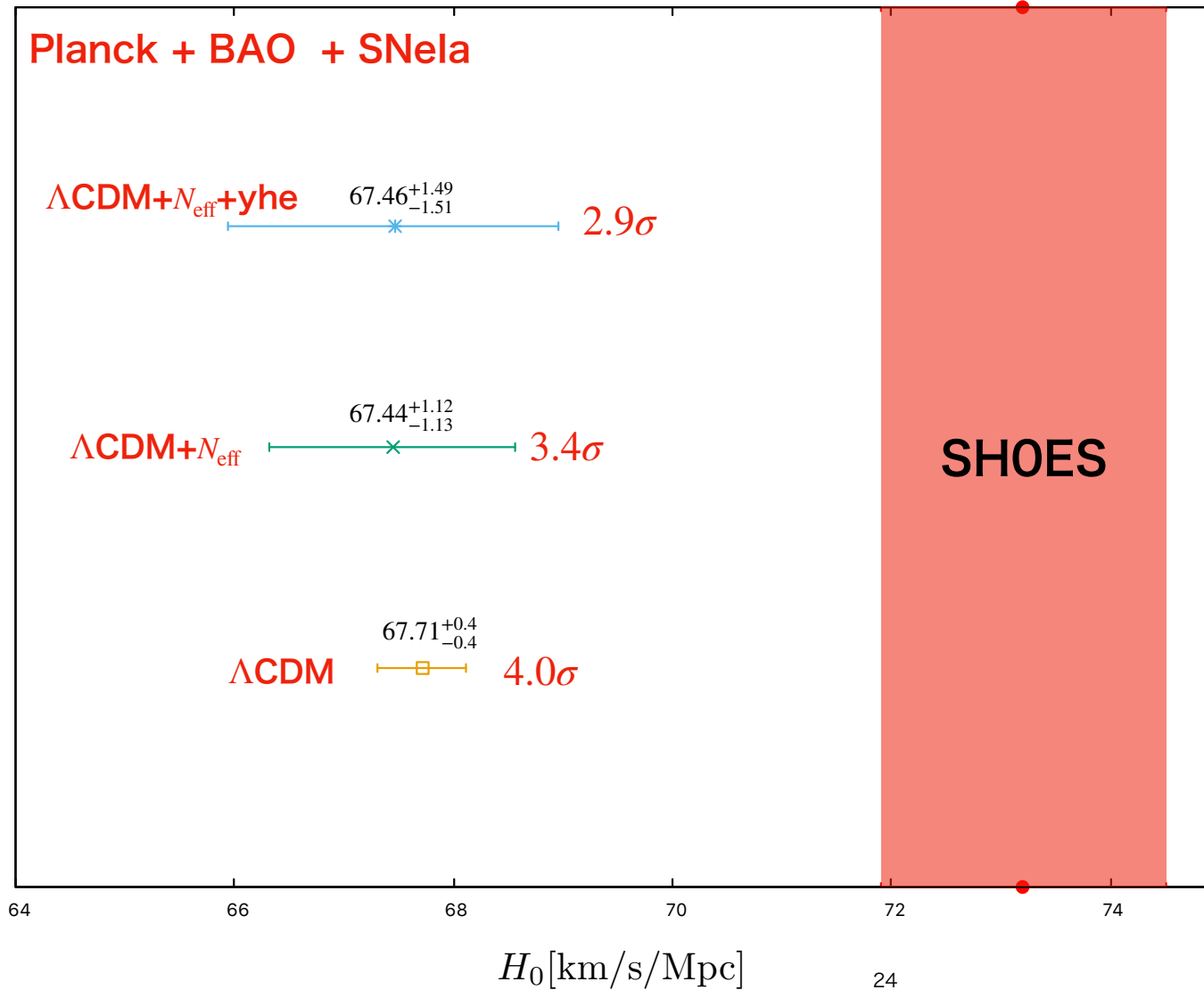
Model	ΔN_{param}	H_0	Gaussian Tension
Λ CDM	0	67.66 ± 0.41	4.1σ
Λ CDM+ m_ν	1	67.79 ± 0.50	3.9σ
Λ CDM+ Ω_K	1	67.86 ± 0.67	3.7σ
Λ CDM+ N_{eff}	1	67.25 ± 1.13	3.5σ
Λ CDM+ n_{run}	1	67.66 ± 0.41	4.1σ
Λ CDM+yhe	1	67.62 ± 0.48	4.0σ
Λ CDM+ $N_{\text{eff}} + \Omega_K$	2	67.32 ± 1.15	3.4σ
Λ CDM+ $N_{\text{eff}} + m_\nu$	2	67.32 ± 1.16	3.4σ
Λ CDM+ $n_{\text{run}} + n_{\text{run,run}}$	2	67.65 ± 0.44	4.0σ
Λ CDM+ $N_{\text{eff}} + n_{\text{run}}$	2	66.72 ± 1.29	3.5σ
Λ CDM+yhe+ N_{eff}	2	67.24 ± 1.54	3.0σ

n_{run} : running spectral index , $n_{\text{run,run}}$: running of running spectral index

yhe : ヘリウム4の存在量, m_ν : ニュートリノの質量

H_0 を解決するために提案された複雑なモデルと、 Λ CDMのシンプルな拡張のsignificanceはそれほど変わらない場合がある

解析 (Planck)



yhe + N_{eff} モデルの場合、
誤差が大きくなり、
tensionは弱くなる

結論

- ・CMB以外の間接測定、バリオン音響振動、ビックバン元素合成、Ia型超新星爆発のデータを用いた場合、 H_0 の値は**低くなる**
- ・Planck2018のデータセットを用いた場合、 Λ CDMを超えたモデルにおいてもtensionのsignificanceは**高い**



Λ CDMを超えたモデルにおいても、tensionは弱くなるがハッブル定数問題が存在する

Thank you for your attention!